

慶應義塾大学工学部

正員 渡辺政広, 豊國永次

昭和48年より松山市街地域を調査流域に選んで都市流出に関する水文観測と流域調査等を推進してきていくが、本報告では、これら資料とともに市街地域の改変に伴う流出変化に関する検討と、豪雨時流域システムでの満管、地表面溢水などの発生するいわゆる Surcharge と伴う流出の特性について検討した結果を述べる。

1. 市街地域の改変に伴う流出性状の変化

松山市街地域の3号幹線非水路区域と調査対象流域($A = 0.219 \text{ km}^2$)に選び、昭和53年実施した市街地の流出面構成要素の調査結果と昭和49年の調査結果と対比して市街地の改変状況を把握し、これに伴う流出性状の変化を調べた。

(1) 市街地の改変による流出面構成要素の変化 調査流域は10ヶの支線非水路区域からなり、変化が顕著な区域をFig.1に示す。又1, 8支線区域では和風屋根の道路・駐車場に、又4, 9, 10支線区域では和風屋根のビル、道路・駐車場に、又2, 6支線区域では和風屋根、庭地のビル、道路・駐車場に変わっている点が注目される。次に調査流域全体として見ると、Fig.2に示すように、和風屋根のビル、道路・駐車場に変わるものが大部分を占める。

(2) 流出ハイドログラフの変化

a) 小支線下流端における流出hydro. の変化；小支線ゲローリクでは流出面構成の変化が流出性状に敏感にひびく、特に浸透域である庭地、空地のビル、駐車場(不浸透域)ができると、急激な流出変化が起こる。流域変化の僅なNo.3-1-1小支線ゲローリク(浸透域が2.5%減)でもFig.3に示す程度の流出hydro. の変化が見られる。b) 支線下流端における流出hydro. の変化；又1, 8支線区域で流出面type IがIIIに、又4, 9, 10支線区域ではIがII, IIIに変わっているが、このうち特にこの程度の変化では、支線下流端の流出hydro. には殆んど変化が現われない。次に又2, 6支線区域では流出面type I, IVがII, IIIに変わり、浸透域の減少がみられる。又6支線では庭地の減少が2.3%程度に過ぎないが、又2支線では9.5%にもなり、Fig.4に示すように流出hydro. の全体にわたってかなりの流出増加がみられる。すなわち不浸透流出面の中でのtype I変換による流出変化より浸透域が不浸透域に変わることによる流出変化の方が大きく影響することがわかる。c) 流域下流端における流出hydro. ; 昭和53年の流出hydro. の流量ピークにおいて確かに大きく見られる程度で殆んど差がない。これはFig.2に示すように、流域全体としては不浸透流出面の変換(type I → II, III)が流域変化の主体を占め、もともと流出性状に大きい

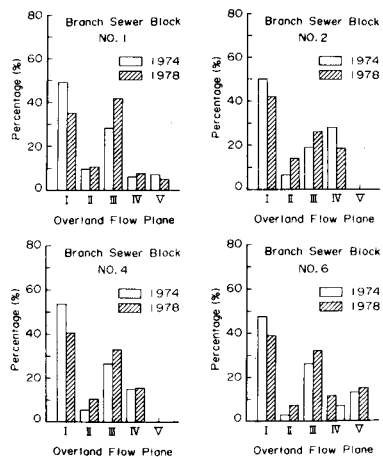


Fig. 1 流出面構成要素の変化(支線区域)

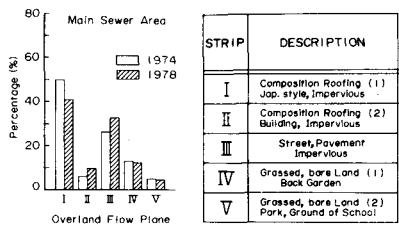


Fig. 2 流出面構成要素の変化(流域全体)

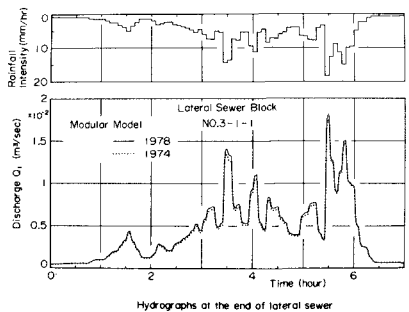


Fig. 3 流出hydro. の変化(小支線だ1-1)

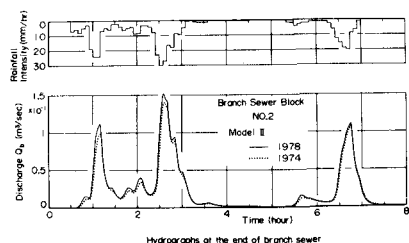


Fig. 4 流出hydro. の変化(支線区域)

変化が考えられない。流域内で各支線からの流出が平均化されて現われるこことによるものと考えられる。以上幹線下流端の流出 hydro. をみると、流域内部斜地の変更にかかわらず、流出 hydro. が殆ど変わらないよう見えるが、流域内部の支線、小支線区域において顕著な流出変化があることに留意する必要がある。

2. Surcharge を伴う流出の特性

調査流域である3号幹線区域の下流端で水位、流量の観測を行っているが、豪雨時以下流部の流路が一時溝管となり、Surcharge を伴う流出が発生する。Fig. 5 は昭和51年17号台風時の豪雨による観測例を示す。水位 hydro. を見ると、およそ14時35分～15時5分にかけて surcharging が現われ、この間の流出は抑制され、貯留効果を伴う流出特性が見受けられる。また surcharging 時間に内での水位変化が急激であることよりその伝播の速いことがわかる。

(1) Surcharge を伴う流出モデル

時間的、場所的に変動する surcharge を伴う排水路システムの流出を実用的にシミュレートするため、雨水路流れとパトフ流れと組合せて取扱う。雨水路流れに対しては、実用上 kinematic wave 近似を適用することとし、パトフ流れに対しては、マンホール水位をエネルギーヘッドとみなし、通常の管路流れの式(1)ならびに連続の式(2)を適用する。

$$Q^2 = 2gA^2D(h_u - h_d) / fL \dots (1)$$

ここで Q はパトフ流量、 A は断面積、 D は管路直径、 f は摩擦損失係数、 L は長さ、 h_u は上流マンホール水位、 h_d は下流マンホール水位。
 $\frac{dQ}{dt} = \sum Q_i - Q_o \dots (2)$

ここで Q_i は各支管の流入量、 Q_o は流出量。surcharge の発生は(3)式を用いてシミュレートされる； $h = fLQ^2 / (2gA^2D) + h_d$ において、 h が 0 のとき雨水路流れからパトフ流れへ遷移…(3)。ここで Q は流量。

(2) 流出モデルの検討

Fig. 6 に示す排水路システムについて上述の流出モデルを数値実験的に検討した。Fig. 8 に示す Inlet hydro. が支線の各マンホールに流入するときの流出シミュレーション結果を Fig. 6～8 に示す。Fig. 6 は surcharge の発達、減衰の時間的、場所的变化を示したものである。マンホール水位は時間的、場所的にかなりの変動を示し、surcharge が最大となる時刻 $t = 32$ min における各マンホールの水位を示すと Fig. 7 のようである。このような surcharge を伴う場合、流域下流端における流出 hydro. を Fig. 8 に示しておく。以上の結果は surcharge を伴う流出の特性よく再現し、こうして流出モデルの有用性が認められる。

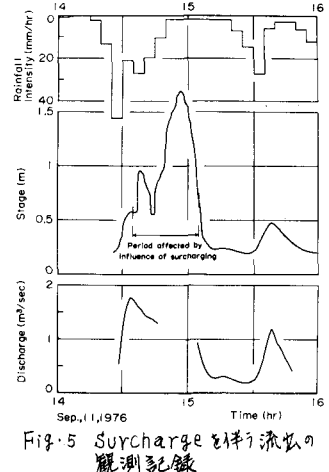
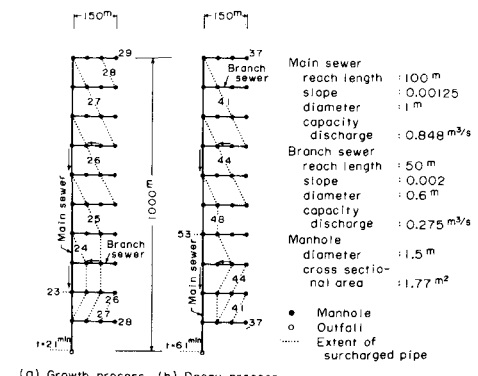


Fig. 5 Surcharge を伴う流出の観測記録



(a) Growth process (b) Decay process

Fig. 6 検討に用いたシステムと surcharge の変動

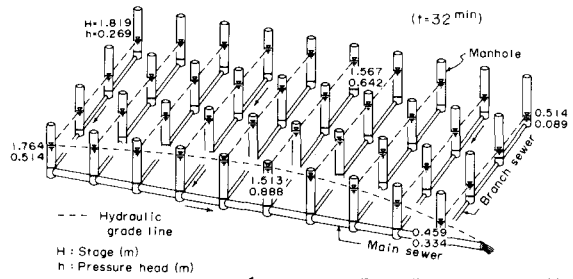


Fig. 7 surcharge が最大となつた時刻各 manhole の水位

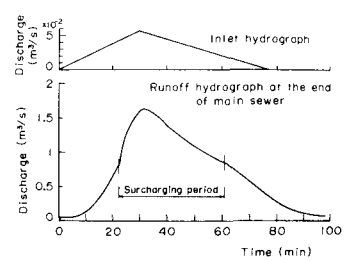


Fig. 8 Inlet hydro. とシステム下流端の流出 hydro.